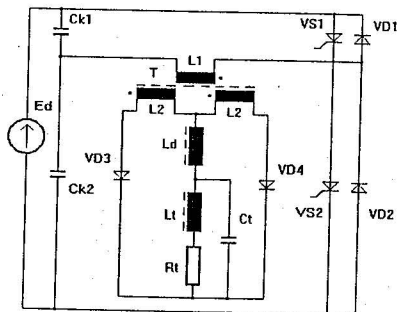


МОДЕЛИРАНЕ И НАСТРОЙКА НА ТИРИСТОРЕН ТОКОИЗТОЧНИК ЗА ЕЛЕКТРОДЪГОВО ЗАВАРЯВАНЕ

д-р. ас. Георги Петров Тошков

ТУ Варна

Повишаването на степента на автоматизация на заваръчното производство засилва тенденцията за заместване на заваръчните токоизправители с нови токоизточници, състоящи се в най-често срещания вариант от полумостов резонансен инвертор с обратни диоди, полумостов изправител и изглаждащ филтър (фиг.1).



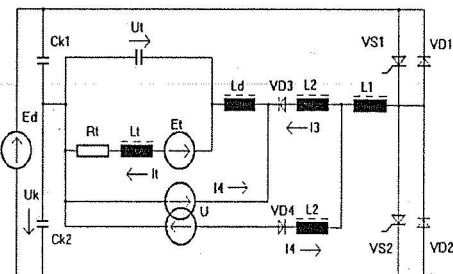
Фиг.1

При проектирането на управлението на линейни системи обикновено се използват линейно-квадратичният метод и методите, основаващи се на местоположението на корените или на диаграмите на Боде и Найкуист. За нелинейни системи, към които се отнася и изследваната система, е възприет друг подход, при който задачата за проектиране на управлението се предифинира като оптимизационна задача. За целта граничните проекционни изисквания се разглеждат като оптимизационна задача, отразяваща качеството на регулирането посредством стойността на един от определените интеграли [2]

$$I_1 = \int_0^{\infty} e(t) \cdot dt, \quad I_2 = \int_0^{\infty} |e(t)| \cdot dt, \quad (1)$$

където $e(t)$ е грешката, с която изходът на системата следва указания от заданието сигнал.

В процеса на проектиране настройването на заварачния токоизточник се свежда до определяне на параметрите на регулаторите по параметрите на желаните от потребителя переходни процеси. За да се отрази хода на електромагнитните процеси, електрическата схема на заваръчния преобразовател, след еквивалентно заместване на три намотъчния трансформатор, при предположение, че пасивните елементи, захранващият източник и вентилите са идеални, както и при пренебрежване на намагнаващата индуктивност и активните загуби на трансформатора, се привежда към еквивалентната схема, показана на фиг.2.

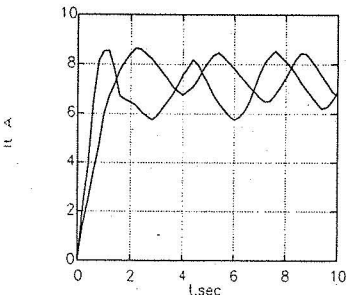


фиг.2

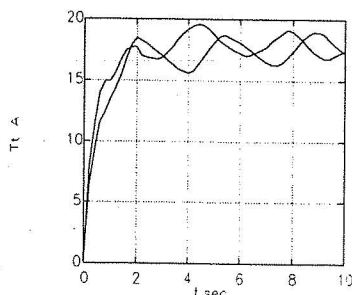
При това, състоянието на електрическата верига се описва от единичната система диференциални уравнения [1].

$$\begin{aligned}
 p \cdot I_3 &= \frac{F_1 \cdot F_2 \cdot E_d - F_2 \cdot U_k + U_t + F_2 \cdot (L_1 - L_d) \cdot p \cdot I_{44}}{F_2 \cdot L_1 + L_2 + (2 - F_2) \cdot L_d} \\
 p \cdot I_4 &= \frac{-F_1 \cdot F_2 \cdot E_d + F_2 \cdot U_k + U_t + F_2 \cdot (L_1 - L_d) \cdot p \cdot I_{33}}{F_2 \cdot L_1 + L_2 + (2 - F_2) \cdot L_d} \\
 p \cdot I_t &= -\frac{U_t + R_t \cdot I_t + E_t}{L_t} \\
 p \cdot U_k &= \frac{I_3 - I_4}{2 \cdot C_k} \\
 p \cdot U_t &= \frac{I_t - I_3 - I_4}{C_t}
 \end{aligned} \tag{2}$$

Същевременно, възникващите числени проблеми затрудняват настройването на управлението на токоизточника. За това е възприет друг подход, при който математическото описание на обекта (фиг.1) се получава посредством методите на теорията на управлението. При това, параметрите на регулаторите се определят от параметрите на експерименталните переходни характеристики, които се снемат посредством провеждането на активен експеримент от физичен модел с изкачени обратни връзки и линейно товарно съпротивление. За управляващо въздействие на обекта се приема честотата на управлението. Силното влияние на забаръчната дъга обуславя въвеждането и на смущаващ вход. Експерименталните переходни характеристики по управляващ и смущаващ вход, установени при стъпално изменение на входното въздействие от 1250Hz на 1500Hz и на смущаващото въздействие от 0.225Ω на 0.1125Ω , са показани съответно на фиг.3 и фиг.4. За представителни переходни характеристики се приемат нормиранныте переходни характеристики $\bar{h}(t) = \bar{h}^*(t) / \bar{h}^*(\infty)$, които се получават от усреднените и изгладени по метода на пълзящото усредняване експериментални переходни характеристики $\bar{h}^*(t)$.



Фиг.3



Фиг.4

Литературният анализ и практическият опит показват, че за голяма част от промишлените обекти експерименталните переходни характеристики могат да се разглеждат като приблизителни решения на едно от следните диференциални уравнения [2]

$$(T_0 \cdot p + 1) \cdot y(p) = k_0 \cdot x(p) \quad (3)$$

$$(T_0 \cdot p + 1) \cdot y(p) = k_0 \cdot x(p) \cdot \exp(-p \tau) \quad (4)$$

$$[T_1 \cdot T_2 \cdot p^2 + (T_1 + T_2) \cdot p + 1] \cdot y(p) = k_0 \cdot x(p) \quad (5)$$

$$(T^2 \cdot p^2 + 2 \cdot T \cdot p + 1) \cdot y(p) = k_0 \cdot x(p) \cdot \exp(-p \cdot \tau). \quad (6)$$

Анализът на експерименталните преходни характеристики по управляващ и смущаващ вход показва, че изследваният обект, в най-общ случай, се аппроксимира към обект с предавателна функция

$$W_0(p) = \frac{k_0}{1 + 2 \cdot \xi \cdot p \cdot T + (p \cdot T)^2} \quad (7)$$

Ако се вземат върхедвиг (5) и (7) и се изравнят коефициентите пред степените на p , то при $\xi > 1$, се установяват съотношенията

$$\xi = (T_1 + T_2) / 2 \cdot T, \quad T = \sqrt{T_1 \cdot T_2}. \quad (8)$$

При $\xi = 1$, когато времеконстантите T_1 и T_2 удовлетворяват условието

$$T_1 = T_2 = T \quad (9)$$

уравнението (7) се преобразува в уравнение (6).

Следователно, когато $\xi \geq 1$, изследваният обект се аппроксимира към обект с предавателна функция (7), а коефициентите на обекта се установяват от експерименталните преходни характеристики посредством метода на Орманс и съотношенията (8) и (9).

Ако в хода на изследването се установят пренебрежимо малки стойности на една от времеконстантите T_1 и T_2 , очевидно е, че (7) трябва да приеме вида (3), респективно (4).

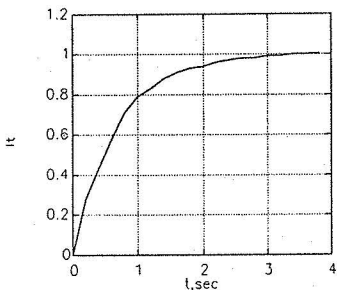
При $\xi < 1$, когато корените на (7) са комплексно спрезнати числа, параметрите на обекта се определят от експерименталните преходни характеристики и съотношенията

$$T = \frac{T_1}{\sqrt{4 \cdot \pi^2 + (\ln(A_1 / A_2))^2}} \quad (10)$$

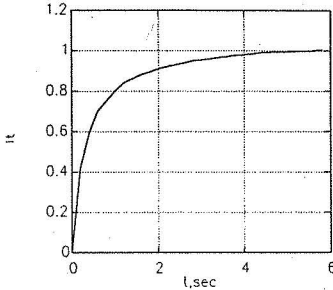
$$\xi = \frac{\ln(A_1 / A_2)}{\sqrt{4 \cdot \pi^2 + (\ln(A_1 / A_2))^2}}, \quad (11)$$

където: T_1 - собствен период на колебанието; A_1 , A_2 - последователни стойности на амплитудата на колебанието.

От нормализираните преходни характеристики по управляващ (фиг.5) и смузващ (фиг.6) вход, посредством метода на Орманс, се установява, че



Фиг.5



Фиг.6

изследваният обект се приближава към обект със следните предавателни функции

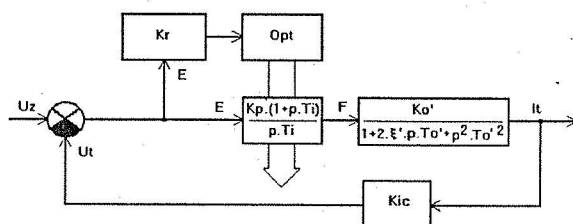
$$W_{01}(p) = \frac{28,521 \cdot 10^{-3}}{1 + 0,65 \cdot 10^{-3} \cdot p + 0,232 \cdot 10^{-7} \cdot p^2} \quad (12)$$

$$W_{02}(p) = \frac{155,56}{1 + 0,488 \cdot 10^{-3} \cdot p} \quad (13)$$

Коефициентите на обекта, установени по метода на Орманс, следва да се разглеждат като приблизителни параметри. Окончателните параметри се получават посредством провеждането на параметрична идентификация на обекта по интегрално-квадратичен критерий. От експерименталните преходни характеристики по управляващ и смузващ вход, посредством оптимизационната процедура на програмния продукт *PSI*, се установяват следните параметри: по управляващ вход $K_0 = 28,521 \cdot 10^3$, $T_{01} = 661,46 \cdot 10^{-6}$ s, $T_{02} = 3,9619 \cdot 10^{-6}$ s; по смузващ вход $K_0 = 155,6$, $T_0 = 488 \cdot 10^{-6}$ s.

Нелинейният характер на товара, превръща задачата за настройване на управлението в своеобразна оптимизационна задача, една възможност за решаването на която предлага програмният продукт *PSI*. Изследването на системата може да се проведе с различни типове регулатори, така, че се избере най-подходящия. Структурната схема на процедурата за оптимална

настройка на управлението, реализирано посредством *PI*-регулатор, е показана на фиг.7, където: U_z -задание; K_r -критерий; *Opt*-оптимизационна процедура на *PSI*; K_{ic} -кофициент на предаване на обратния преобразувател " $I_t - U_t$ "; K_p , T_i -параметри на *PI*-регулатора; K_0 , ξ , T_0 - параметри на обекта по управляващ вход. Близостта на настройката се оценява по интегрално-квадратичен критерий.



фиг.7

От проведените изследвания се установяват следните оптимални параметри на регулатора: $K_p=3,411$; $T_i=7,236 \cdot 10^{-5}$ с. Анализът на преходните процеси в оптимизираната система показва, че регулаторът отработва управляващото и смущаващото въздействие.

Литература:

1. Тишков Г.П., Комплексен критерий за синтез на основните параметри на тиристорен заваръчен токоизточник, ЕТ'94, Созопол.
2. Трайков Т.П., Идентификация на обектите за автоматизация, Техника, С,'72.